

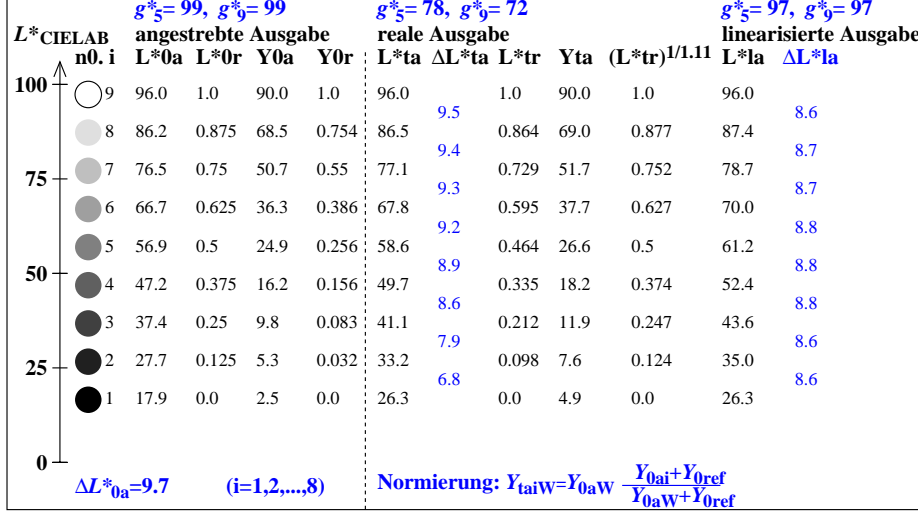
9stufige Grauskalierung zwischen $L^*_{0aN}=17.9$ und $L^*_{0aW}=95.9$, $Y_{0ref}=2.5$, Normierung Weiß W

$L^*_{0aN}=17.9$, $L^*_{0aU}=56.9$, $L^*_{0aW}=96.0$, $Y_{0aN}=2.5$, $Y_{0aU}=24.9$, $Y_{0aW}=90.0$, $C_{0aY}=Y_{0aW}:Y_{0aN}=36.0$

$L^*_{taN}=26.3$, $L^*_{taU}=58.6$, $L^*_{taW}=96.0$, $Y_{taN}=4.9$, $Y_{taU}=26.6$, $Y_{taW}=90.0$, $C_{taY}=Y_{taW}:Y_{taN}=18.5$

Regularitätsindex nach ISO/IEC 15775:2022, Anhang G für 5 und 9 Stufen

$g^* = 100 [\Delta L^*_{min}] / [\Delta L^*_{max}]$, $L^*_{CIELAB} = 116 [Y/Y_n]^{1/3} - 16$ mit $Y >= 0.882$, $Y_n=100$



egq80-3n

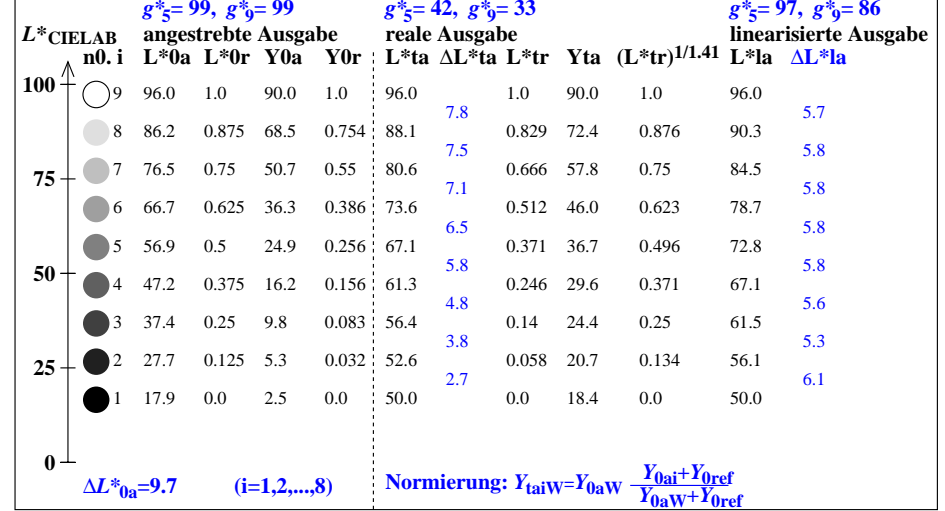
9stufige Grauskalierung zwischen $L^*_{0aN}=17.9$ und $L^*_{0aW}=95.9$, $Y_{0ref}=20.0$, Normierung Weiß W

$L^*_{0aN}=17.9$, $L^*_{0aU}=56.9$, $L^*_{0aW}=96.0$, $Y_{0aN}=2.5$, $Y_{0aU}=24.9$, $Y_{0aW}=90.0$, $C_{0aY}=Y_{0aW}:Y_{0aN}=36.0$

$L^*_{taN}=50.0$, $L^*_{taU}=67.1$, $L^*_{taW}=96.0$, $Y_{taN}=18.4$, $Y_{taU}=36.7$, $Y_{taW}=90.0$, $C_{taY}=Y_{taW}:Y_{taN}=4.9$

Regularitätsindex nach ISO/IEC 15775:2022, Anhang G für 5 und 9 Stufen

$g^* = 100 [\Delta L^*_{min}] / [\Delta L^*_{max}]$, $L^*_{CIELAB} = 116 [Y/Y_n]^{1/3} - 16$ mit $Y >= 0.882$, $Y_n=100$



egq81-3n

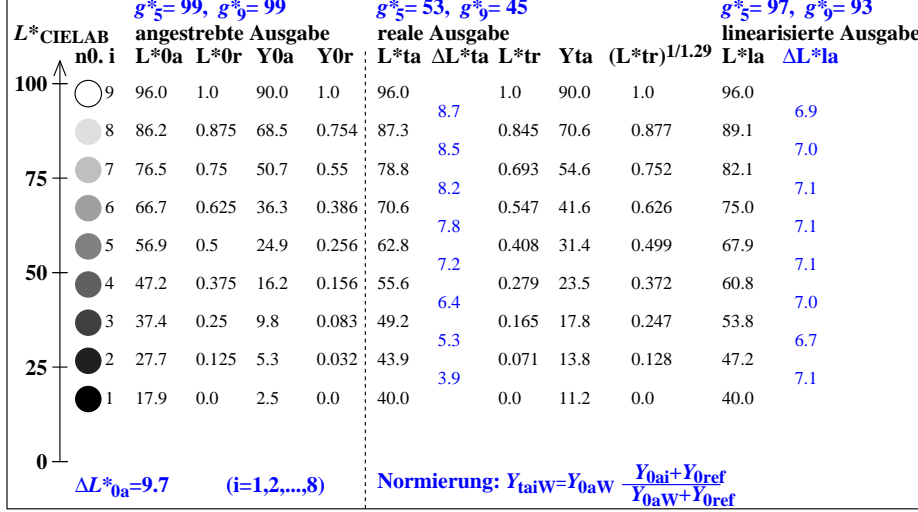
9stufige Grauskalierung zwischen $L^*_{0aN}=17.9$ und $L^*_{0aW}=95.9$, $Y_{0ref}=10.0$, Normierung Weiß W

$L^*_{0aN}=17.9$, $L^*_{0aU}=56.9$, $L^*_{0aW}=96.0$, $Y_{0aN}=2.5$, $Y_{0aU}=24.9$, $Y_{0aW}=90.0$, $C_{0aY}=Y_{0aW}:Y_{0aN}=36.0$

$L^*_{taN}=40.0$, $L^*_{taU}=62.8$, $L^*_{taW}=96.0$, $Y_{taN}=11.2$, $Y_{taU}=31.4$, $Y_{taW}=90.0$, $C_{taY}=Y_{taW}:Y_{taN}=8.0$

Regularitätsindex nach ISO/IEC 15775:2022, Anhang G für 5 und 9 Stufen

$g^* = 100 [\Delta L^*_{min}] / [\Delta L^*_{max}]$, $L^*_{CIELAB} = 116 [Y/Y_n]^{1/3} - 16$ mit $Y >= 0.882$, $Y_n=100$



egq80-7n

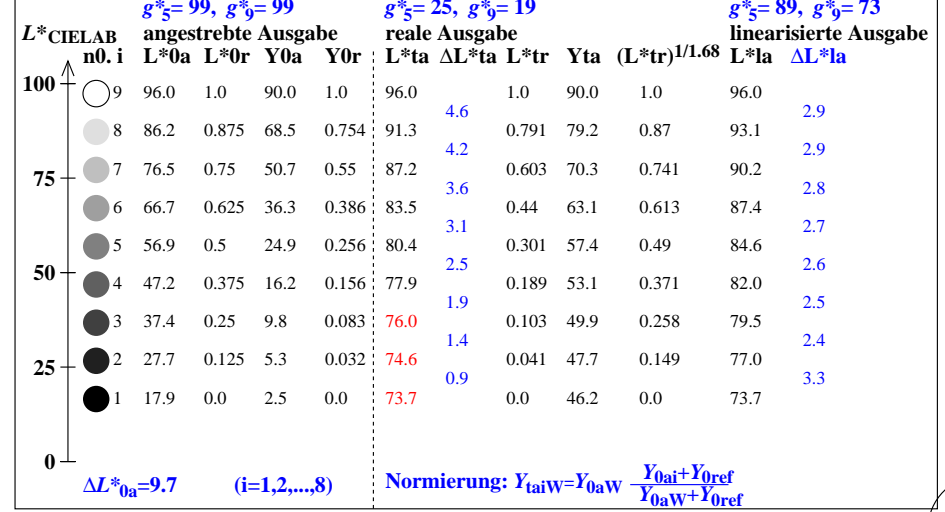
9stufige Grauskalierung zwischen $L^*_{0aN}=17.9$ und $L^*_{0aW}=95.9$, $Y_{0ref}=90.0$, Normierung Weiß W

$L^*_{0aN}=17.9$, $L^*_{0aU}=56.9$, $L^*_{0aW}=96.0$, $Y_{0aN}=2.5$, $Y_{0aU}=24.9$, $Y_{0aW}=90.0$, $C_{0aY}=Y_{0aW}:Y_{0aN}=36.0$

$L^*_{taN}=73.7$, $L^*_{taU}=80.4$, $L^*_{taW}=96.0$, $Y_{taN}=46.2$, $Y_{taU}=57.4$, $Y_{taW}=90.0$, $C_{taY}=Y_{taW}:Y_{taN}=1.9$

Regularitätsindex nach ISO/IEC 15775:2022, Anhang G für 5 und 9 Stufen

$g^* = 100 [\Delta L^*_{min}] / [\Delta L^*_{max}]$, $L^*_{CIELAB} = 116 [Y/Y_n]^{1/3} - 16$ mit $Y >= 0.882$, $Y_n=100$



egq81-7n

Siehe ähnliche Dateien der ganzen Serie: http://farbe.li.tu-berlin.de/egqs.htm
Technische Information: http://farbe.li.tu-berlin.de oder http://color.li.tu-berlin.de

TUB-Registrierung: 20230701-egq8/egq8I0np.pdf / .ps
Anwendung für Beurteilung und Messung von Display- oder Druck-Ausgabe
TUB-Material: Code=rh4ta